

O Valor do Exame da Placenta na Autópsia do Feto e do Recém-Nascido

APARECIDA G. P. GARCIA

Chefe do Departamento de Patologia Perinatal do Instituto Fernandes Figueira — Fundação Oswaldo Cruz. Pesquisadora I B — CNPq.

ANA JÚLIA COUTO DE ALENCAR

R2 em Pediatria.

PAULO GERALDO DA SILVA

R2 em Obstetrícia e Ginecologia.

RESUMO

Com a finalidade de se verificar a importância do exame da placenta na identificação das causas responsáveis pela morte fetal e neonatal, foram reavaliadas 171 autópsias realizadas no Laboratório de Patologia Perinatal do Instituto Fernandes Figueira (41 abortos fetais, 76 nati-mortos e 48 neomortos).

Os dados placentários obtidos através dos exames macro e microscópico foram responsáveis pelos diagnósticos em 76,6% dos abortos, tendo oferecido informações diagnósticas e contribuintes em 14,9% e aparas contribuintes em 8,5% dos mesmos.

Em todos os neomortos e em 74 de 76 nati-mortos (97,5%) identificaram-se elementos placentários anormais que foram utilizados na elaboração diagnóstica.

A incorporação dos dados placentários aos diagnósticos finais das causas de morte em número expressivo de casos parece-nos justificar a necessidade da avaliação dos mesmos nas autópsias fetais e neonatais.

INTRODUÇÃO

O interesse crescente relativo à saúde do binômio mãe-feto e aos estados patológicos da gestação tem demonstrado que os dados obtidos através do exame de placenta podem fornecer visão ampla dos fatores atuantes na vida pré-natal.

O conceito atualmente generalizado de que a placenta é um órgão fetal torna implícito que o exame da mesma constitua parte integrante da autópsia fetal e neonatal. Como acentuam Beirschke e Driscoll (1), o estudo da placenta, membranas e cordão umbilical é elemento *sine qua non* da autópsia perinatal, indispensável à identificação das causas responsáveis pelo óbito.

O presente trabalho tem como escopo a verificação da importância dos dados obtidos através do exame anátomo-histopatológico da placenta na elaboração dos diagnósticos dos óbitos fetais e neonatais em crianças nascidas na maternidade Clovis Corrêa da Costa do Instituto Fernandes Figueira — FIOCRUZ, e autopsiados no Departamento de Patologia Perinatal, durante o período de cinco anos (1973-1977).

MATERIAL E MÉTODOS

Analisamos 171 autópsias, referentes a 47 abortos (fetos com idade gestacional inferior a 28 semanas e peso inferior a 1.000 g), 76 nati-mortos (42 macerados e 34 não macerados) e 48 neomortos. Foram reavaliados os dados clínicos, os obtidos na autópsia, aliados à documentação fotográfica macroscópica e reexaminado o material relativo ao exame histológico de todas as vísceras, fixadas em formol a 10%. Usou-se a hematoxilina-eosina como coloração de rotina.

Os diagnósticos finais foram baseados nos dados assim coligidos e após discussão clinicopatológica de todos os casos. Os elementos referentes ao exame macro e microscópico da placenta foram considerados: 1) diagnósticos; 2) diagnósticos e contribuintes; 3) contribuintes; embora não

* Do Departamento de Patologia Perinatal do Instituto Fernandes Figueira — Fundação Oswaldo Cruz — Rio de Janeiro.

Realizado em parte com auxílio do Conselho Nacional de Desenvolvimento Científico e Tecnológico (CNPq). Aceito para publicação em 30/8/79.

diagnósticos; 4) anormais, embora não contribuintes ao diagnóstico.

ABORTOS

Como se verifica na Tabela 1, os elementos fornecidos pela placenta foram responsáveis pelos diagnósticos em 36 de 47 casos; em sete além desses dados, foram obtidos informações contribuintes; em quatro, proporcionou elementos contribuintes ao diagnóstico final.

TABELA 1

Elementos placentários relativos aos abortos.

INSTITUTO FERNANDES FIGUEIRA - FIOCRUZ
1973-1977

Elementos diagnósticos	36 casos	76,6%
Elementos diagnósticos e contribuintes	7 casos	14,9%
Elementos contribuintes	4 casos	8,5%
TOTAL	47 casos	100,0%

NATIMORTOS

Na Tabela 2 estão arrolados os dados placentários relativos aos natimortos, podendo-se observar que em todos os casos identificaram-se elementos placentários anormais e que apenas em dois deles os referidos dados não foram utilizados na elaboração diagnóstica.

TABELA 2

Elementos placentários relativos aos natimortos

INSTITUTO FERNANDES FIGUEIRA - FIOCRUZ
1973-1977

Elementos diagnósticos	43 casos	56,6%
Elementos diagnósticos e contribuintes	22 casos	28,9%
Elementos contribuintes	9 casos	11,8%
Elementos anormais não contribuintes	2 casos	2,7%
TOTAL	76 casos	100,0%

A Tabela 3 mostra a expressividade dos dados placentários na avaliação da autópsia dos neonatos, podendo-se verificar que em todos os casos identificaram-se lesões que interferiram na feitura do diagnóstico.

Analisaremos a seguir, sucintamente, os aspectos clinicopatológicos de quatro casos, onde se poderá avaliar a importância do exame da placenta na elaboração dos diagnósticos respectivos.

TABELA 3

Elementos placentários relativos aos neonatos

INSTITUTO FERNANDES FIGUEIRA - FIOCRUZ

1973-1977

Elementos diagnósticos	15 casos	31,2%
Elementos diagnósticos e contribuintes	8 casos	16,7%
Elementos contribuintes	23 casos	47,9%
Elementos anormais não contribuintes	2 casos	4,2%
TOTAL	48 casos	100,0%

CASUÍSTICA

Elementos Contribuintes

Caso 1 — Autópsia 1.463. Mãe: 21 anos, parida, solteira, doméstica, primigesta. Gestação: U.M.: 8-5-74; D.P.Pt^o: 15-2-75; bom estado geral, VDRL negativo; grupo B, Rh negativo. Não freqüentou o pré-natal, tendo sido admitida na 34ª semana com pressão arterial de 15/9, edema, aluminúria; BCF presentes. Iniciou tratamento anti-hipertensivo. No sexto dia de internação, interromperam-se os BCF, tendo a pressão caído a 13/8. A amnioscopia revelou líquido amniótico verde-escuro, tendo sido indicada a interrupção da gestação, (38ª S1D). Parto normal, dando nascimento a feto macerado, sem anomalias, pesando 1.845 g e medindo 46 cm de comprimento total (Fig. 1). Placenta ovóide (11 cm x 16 cm x 6 cm), bordos regulares, pesando 215 g. Membranas modificadas pela autólise, com áreas de hipotransparência e zonas degeneradas nos bordos. Inserção paramarginal do cordão, que mede 48 cm x 8 cm, geléia branco-avermelhada, contendo três vasos. Face materna (Fig. 2) exibindo cotilédones mal delimitados, de coloração vermelho-pálida, com áreas esbranquiçadas, ao lado de outras arredondadas, vermelho-vinhosas, aspecto estratificado. Aos cortes, inúmeros infartos em vários estados evolutivos. A microscopia evidenciou, ao lado das lesões degenerativas, dismaturidade vilosa e lesões vasculares deciduais compatíveis com hipertensão materna (Fig. 3). Diagnósticos da autópsia fetal — anoxia intra-uterina. Lesões placentárias compatíveis com doença hipertensiva materna e sofrimento fetal prolongado.

Elementos Diagnósticos

Caso 2 — Autópsia 1.558. Mãe: 17 anos, preta, solteira, doméstica, secundigesta. Primeiro filho natimorto, cuja autópsia revelou; anoxia intra-uterina por descolamento prematuro da placenta. Gestação atual: U.M.: 28-2-76; D.P.Pt^o: 7-12-76. Matriculada no pré-natal na 18.ª semana, tendo



Figura 1 — Feto a termo, dismaturo, em maceração (A. 1.463).

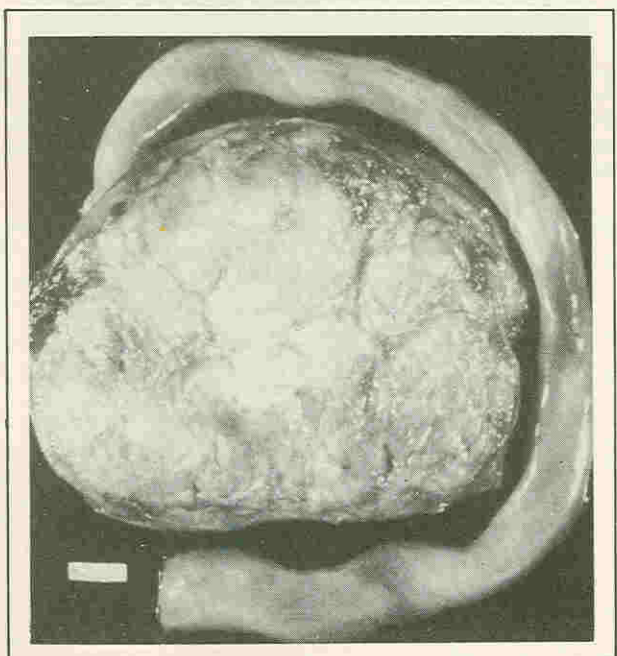


Figura 2 — Face materna da placenta exibindo lesões de generativas extensas e antigas (A. 1.463).

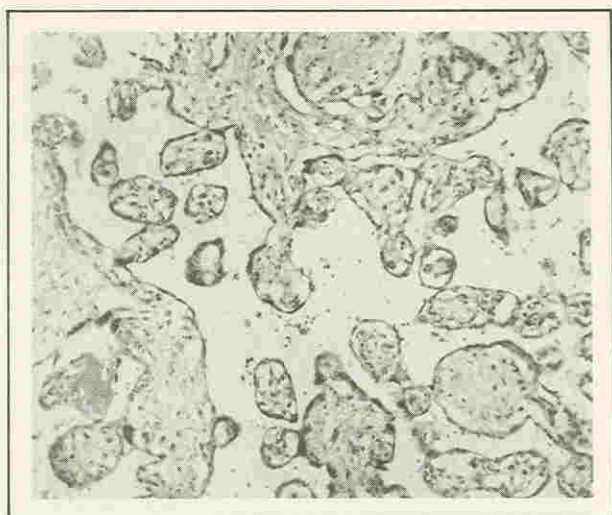


Figura 3 — Vilosidades terminais mostrando escassez de membrana vascular sincicial, proeminência trofoblástica e escassa vascularização do estroma (A. 1.463 — H.E. 560 x).

feito três consultas. VDRL negativo, grupo A, Rh positivo. Glicemia de jejum: 105 mg%. Parto espontâneo (31^a S3D), normal, apresentação cefálica. Feto do sexo masculino, pesando 1.720 g. Apresentou sofrimento respiratório logo após o nascimento, tendo sido o Rx de tórax compatível com o diagnóstico de membrana hialina; o quadro respiratório melhorou no fim do primeiro dia; no 3.^º dia apresentou icterícia (B.T.: 9,17 mg%; BD: 0,91 mg%; BI: 8,26 mg%), que regrediu com fototerapia. Identificou-se sopro cardíaco no 7.^º dia, sistólico, audível em todo o tórax, com 160 batimentos cardíacos, ao lado de hepatomegalia, pulsos palpáveis, cianose periungueal, cansaço ao mamar e crises de apnêa. Houve grande aumento da área cardíaca, ao lado de edema generalizado. Faleceu no 18.^º dia, tendo apresentado crises convulsivas nos últimos dias. Placenta quadrangular (17 x 15 x 1,2 cm), bordos discretamente irregulares (Fig. 4), pesando 275 g; membranas de transparência e coloração habituais; cordão de inserção paracentral, medindo 19,5 cm x 1,5 cm; geleia de aspecto habitual, contendo três vasos. Face materna exibindo cotilédones bem delimitados, de tamanho variado, consistência friável. O exame microscópico evidenciou processo infeccioso hematogênico, tendo-se observado a presença de microrganismos com as características morfolintoriais do *Toxoplasma gondii*, nas membranas e cordão (Fig. 5). O recém-nascido apresentou lesões viscerais disseminadas comprometendo miocárdio, sistema nervoso central, olho, fígado, pulmões, músculo periférico, onde os microrganismos foram identificados. A morte foi atribuída à insuficiência cardíaca por miocardite específica.



Figura 4 — Placenta quadrangular, exibindo hipotransparéncia das membranas do quadrante esquerdo (A. 1.558).

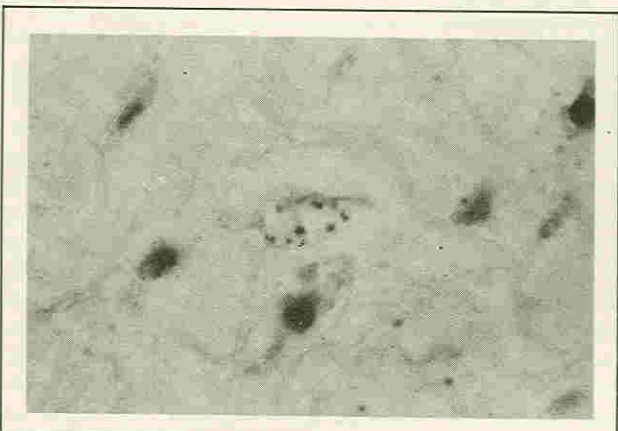


Figura 5 — Presença de trofozoítos de *Toxoplasma gondii* no córion placentário (A. 1.558 — H.E. 1.250 x).

Elementos Diagnósticos e Contribuintes

Caso 3 — Autópsia 1.546. Mãe: 29 anos, preta, solteira, doméstica, gesta II, para I (aborto espontâneo primeiro trimestre). Gestação atual: U.M.: 6-12-75; D.P.Ptº.: 13-9-76. Matriculada no pré-natal na 12.^a semana; VDRL negativo, grupo O, Rh positivo. Glicemia de jejum: 100 mg%. Fez três visitas ao pré-natal, tendo-se verificado aumento excessivo de peso. Admitida na 24.^a S5D por amniorrexis prematura, tendo permanecido internada 17 dias, em uso de antibióticos e útero-inibidores. Parto pélvico na 27^a S1D., com duração de 3 horas e 30 min. Feto do sexo feminino, pesando 1.500 g, medindo 43 cm, tendo recebido grau 1 (Apgar); Chorou fracamente após 45 min.

Além das manobras de reanimação foi cateterizada a veia umbilical para hidratação; recebeu antibioticoterapia. Viveu 15 horas, tendo apresentado sofrimento respiratório até o óbito. Placenta bilobada, bordos regulares, pesando 447 g; membranas íntegras, branco-amareladas, transparência diminuída (Fig. 6). Cordão de inserção paramarginal, medindo 36 cm x 1,5 cm., com três vasos visíveis através da geléia, cercados por orla amarelada. A face materna exibia cotilédones mal delimitados, coloração róseo-avermelhada, friáveis. A microscopia evidenciou processo infecioso bacteriano (Fig. 7) tendo-se identificado, ao exame morfológico, ao nível das lesões, presença de cocos Gram-positivos com a morfologia do estreptococo (Fig. 8). Diagnósticos da autópsia fetal: pneumonia uterina. Lesões anóxicas viscerais com hemorragia ventricular. Lesões placentárias e fetais compatíveis com diabetes gestacional.

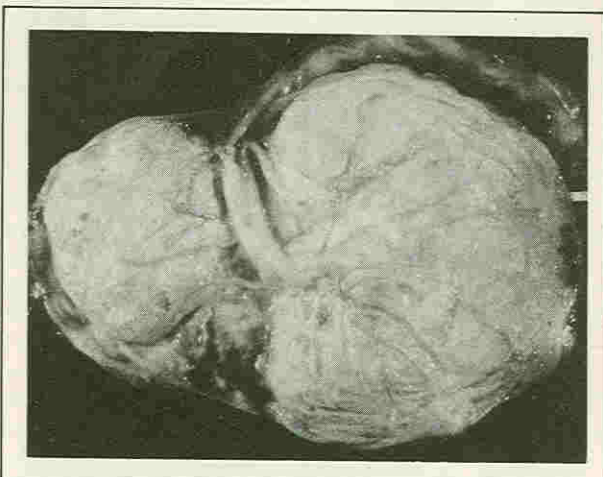


Figura 6 — Placenta bilobada, bordos regulares, membranas hipotransparentes, branco-amareladas; cordão apresentando vasos visíveis através da geléia (A. 1.546).

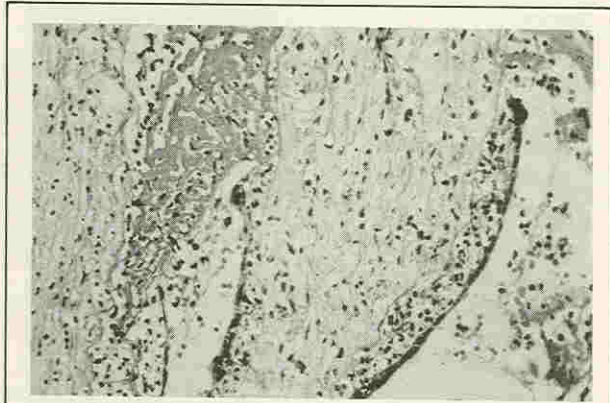


Figura 7 — Vilosidades cercadas por trombos sépticos; presença de infiltrado predominantemente polinuclear na zona subepitelial da vilosidade (A. 1.546 — H.E. 125 x).

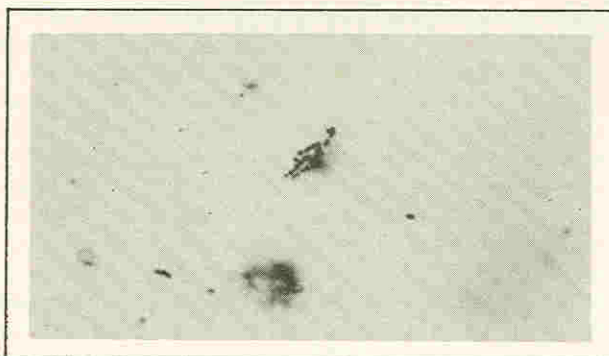


Figura 8 — Microrganismos Gram-positivos, dispostos em cadeia, localizados no cordão umbilical (A. 1.546 — M ét. de Taylor 1.250 x).

Elementos Anormais Não Diagnósticos

Caso 4 — Autópsia 1.545. Mãe: 21 anos, parida, solteira, doméstica, tercigesta, gestação atual: U.M.: 9-75; D.P.Ptº.: 20-8-76. Fez quatro consultas ao pré-natal. VDRL negativo, Rh positivo, grupo O. Foi encaminhada à maternidade por ter ocorrido perdas sanguíneas (31 a.S.); seis dias após desencadeou-se o trabalho de parto por rotura das membranas, com eliminação de quantidade aumentada de líquido amniótico. Parto pelvipodálico, durando 4 horas e 40 min. Feto pesando



Figura 9 — Placenta volumosa, bordos regulares, membranas de aspecto normal, cordão umbilical edemaciado (A. 1.545).

1.700 g, 42 cm, neomorto. Placenta de bordos discretamente irregulares, discóide, medindo 17 cm x 16 cm x 1 cm; membranas normalmente transparentes. Cordão de inserção paramarginal, medindo 24 cm x 1,2 cm, apresentando três vasos (Fig. 9). A face materna mostrava cotilédones mal delimitados, coloração róseo-avermelhada; aos cortes, aspecto homogêneo. Ao exame microscópico identificaram-se lesões na placa vilosa compatíveis com o diagnóstico de diabetes materno (Fig. 10). O feto apresentou tocotraumatismo cerebral por rotura da veia de Galeno e da coluna com fratura da segunda vértebra torácica, assim como lesões viscerais tipo anóxico.



Figura 10 — Placa vilosa contendo vilosidades volumosas, dismátruras, exibindo discreto edema do estroma, aumento de celularidade local, vasos periféricos e proeminência do trofoblasto (A. 1.545 — H.E. 560 x).

SUMMARY

With the purpose of identifying the role the placenta as a potential source of valid data to the final diagnoses of autopsies, 171 fetal and neonatal deaths (41 fetal abortions, 76 stillbirths and 48 neonatal deaths) were analyzed.

Gross and microscopic data obtained by the placental examination were responsible for the diagnoses in 76,6% of the abortions; diagnostic and contributory elements were obtained in 24,9% as well as contributory data in 8,5%.

In all the neonatal deaths and in 74 of 76 stillbirths (97,5%), abnormal placental findings were identified and included in the final diagnoses of autopsy.

BIBLIOGRAFIA

1. BENIRSCHKE, K.; DRISCOLL, S.G.: The pathology of the human placenta. Berlin — Heidelberg — New York: Springer, 1967.

Endereço do Autor:

DRA. APARECIDA G.P. GARCIA
Instituto Fernandes Figueira
Departamento de Patologia Perinatal
Av. Rui Barbosa, 716-22250 — Rio de Janeiro — RJ